

Полученные экспериментальные результаты позволяют обосновать предположение о сохранении равновесного вращательного распределения в типичных условиях генерации непрерывного CO_2 -лазера, значительно упрощающее вычисление его параметров.

СПИСОК ЛИТЕРАТУРЫ

- [1] Сафарян М. Н., Ступоченко Г. В. Журн. прикл. мех. и технич. физики, 1964, № 4, с. 29. [2] Степанов Б. И., Чураков В. В. Журн. прикл. спектр., 1971, 14, с. 990. [3] Мкртчян М. М., Платоненко В. Т. Квант. электроника, 1978, 5, с. 2104. [4] Steverding V. J. Appl. Phys., 1979, 50, p. 5994. [5] Короленко П. В., Макаров В. Г. Журн. прикл. спектр., 1981, 34, с. 980.

Поступила в редакцию
15.07.85

ВЕСТН. МОСК. УН-ТА. СЕР. 3. ФИЗИКА. АСТРОНОМИЯ, 1986, Т. 27, № 3

АКУСТИКА

УДК 53:51

ОБРАТНАЯ ГРАНИЧНАЯ ЗАДАЧА ДЛЯ ТВЕРДОГО ТЕЛА

В. А. Буров, А. А. Горюнов, Т. А. Тихонова

(кафедра акустики)

В работе [1] показана возможность сведения решения обратной внешней краевой задачи I и II рода для уравнения Гельмгольца к решению обратной задачи для уравнения Гельмгольца в пространстве с рефракционной неоднородностью $c(x)$ в случае скалярных волн. В настоящей работе получены выражения, позволяющие рассматривать обратную задачу рассеяния звука на неоднородностях среды в твердом теле и обратную граничную задачу для твердого тела с единой точки зрения.

Рассмотрим рассеяние звукового поля на полости достаточно произвольной формы в однородной упругой среде, характеризующейся параметрами Ламэ λ и μ и плотностью ρ . Форма рассеивателя описывается характеристической функцией

$$\gamma(x) = \begin{cases} 1, & \text{если } x \text{ внутри рассеивателя,} \\ 0, & \text{если } x \text{ вне рассеивателя, } x \in R_3. \end{cases}$$

Уравнение, описывающее рассеяние векторного звукового поля некоторой поверхностью S , имеет вид [2]

$$\int_S \hat{n}_j \Gamma_{ijkl} [u_i(x') \partial_k' G_{lm}^0(x/x') - G_{lm}^0(x/x') \partial_k' u_l(x')] dS' + \int_V \rho f_j(x') G_{jm}^0(x/x') dx' = \begin{cases} u_m(x), & x \text{ вне } S, \\ 0, & x \text{ внутри } S, \end{cases} \quad (1)$$

где $u_j(x)$ — вектор смещения, Γ_{ijkl} — тензор упругости (для изотропной среды $\Gamma_{ijkl} = \lambda \delta_{ij} \delta_{kl} + \mu (\delta_{ik} \delta_{jl} + \delta_{il} \delta_{kj})$), $i, j, k, l = 1, 2, 3$; $G_{lm}^0(x/x')$ — тензор смещений Грина, удовлетворяющий уравнению

$$\partial_i (\Gamma_{ijkl} \partial_k G_{lm}^0(x/x')) + \rho \omega^2 G_{jm}^0(x/x') = -\delta_{jm} \delta(x - x'),$$

где x — точка наблюдения, x' — точка источника, \hat{n}_j — нормаль к поверхности S , $f_j(x')$ — источники внешнего поля (рисунок). Граничным условием для свободной поверхности твердого тела является равенство нулю вектора поверхностного напряжения

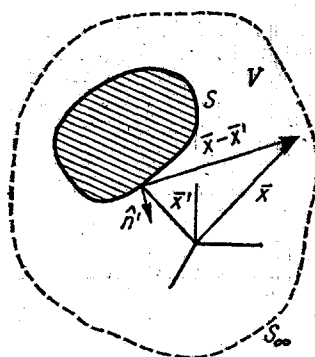
$$t_i(x') = \hat{n}_j T_{ij}(x'),$$

где $T_{ij}(x)$ — тензор напряжений, определяемый из обобщенного закона Гука: $T_{ij} = \Gamma_{ijkl} (\partial_k u_l)$.

Для свободной поверхности твердого тела второе слагаемое в первом интеграле уравнения (1)

$$G_{im} \widehat{n}_j \Gamma_{ijkl} (\partial_k u_l) = G_{im} l_i (\mathbf{x}') |_{S=0}$$

в силу граничного условия. Для изотропной среды уравнение (1) примет вид



$$\int_S \{ \widehat{n}_j \lambda [u_i (\mathbf{x}') \partial_i' G_{im}^0 (\mathbf{x}/\mathbf{x}')] + \widehat{n}_j \mu [u_i (\mathbf{x}') \partial_i' G_{jm}^0 (\mathbf{x}/\mathbf{x}')] + \widehat{n}_j \mu [u_i (\mathbf{x}') \partial_i' G_{im}^0 (\mathbf{x}/\mathbf{x}')] \} dS' + \int_V \rho f_j (\mathbf{x}') G_{jm}^0 (\mathbf{x}/\mathbf{x}') dx' = \begin{cases} u_m (\mathbf{x}), & \mathbf{x} \text{ вне } S, \\ 0, & \mathbf{x} \text{ внутри } S. \end{cases} \quad (2)$$

Преобразуем выражение (2), используя формулу дифференцирования произведения двух функций:

$$\int_S \{ \lambda \widehat{n}_j' \partial_i' (u_j (\mathbf{x}') G_{im}^0 (\mathbf{x}/\mathbf{x}')) - \lambda \widehat{n}_j' G_{im}^0 (\mathbf{x}/\mathbf{x}') \partial_i' u_j (\mathbf{x}') + \mu \widehat{n}_j' \partial_i' (u_i (\mathbf{x}') G_{jm}^0 (\mathbf{x}/\mathbf{x}')) - \mu \widehat{n}_j' G_{jm}^0 (\mathbf{x}/\mathbf{x}') \partial_i' u_i (\mathbf{x}') + \mu \widehat{n}_j' \partial_i' (u_i (\mathbf{x}') G_{im}^0 (\mathbf{x}/\mathbf{x}')) - \mu \widehat{n}_j' G_{im}^0 (\mathbf{x}/\mathbf{x}') \partial_i' u_i (\mathbf{x}') \} dS' + \int_V \rho f_j (\mathbf{x}') G_{jm}^0 (\mathbf{x}/\mathbf{x}') dx' = \begin{cases} u_m (\mathbf{x}), & \mathbf{x} \text{ вне } S, \\ 0, & \mathbf{x} \text{ внутри } S. \end{cases} \quad (3)$$

Воспользовавшись соотношениями [3]

$$(-\delta_S n_i \partial_j, \varphi) = \int_S n_i \partial_j \varphi dS; \quad (\delta_S, \varphi) = \int_S \varphi (\mathbf{x}) dS; \quad \partial_i \partial_j \gamma = \delta_S n_i \partial_j; \quad \partial_i \gamma = n_i \delta_S,$$

перейдем от (3) к уравнению

$$\lambda (-\delta_S \widehat{n}_j' \partial_i', u_j (\mathbf{x}') G_{im}^0 (\mathbf{x}/\mathbf{x}')) + \mu (-\delta_S \widehat{n}_j' \partial_i', u_i (\mathbf{x}') G_{jm}^0 (\mathbf{x}/\mathbf{x}') + \mu (-\delta_S \widehat{n}_j' \partial_i', u_i (\mathbf{x}') G_{im}^0 (\mathbf{x}/\mathbf{x}')) - \lambda (\delta_S \widehat{n}_j', G_{im}^0 (\mathbf{x}/\mathbf{x}') \partial_i' u_j (\mathbf{x}')) - \mu (\delta_S \widehat{n}_j', G_{jm}^0 (\mathbf{x}/\mathbf{x}') \partial_i' u_i (\mathbf{x}')) - \mu (\delta_S \widehat{n}_j', G_{im}^0 (\mathbf{x}/\mathbf{x}') \partial_i' u_i (\mathbf{x}')) + \int_V \rho f_j (\mathbf{x}') G_{jm}^0 (\mathbf{x}/\mathbf{x}') dx' = \begin{cases} u_m (\mathbf{x}), & \mathbf{x} \text{ вне } S, \\ 0, & \mathbf{x} \text{ внутри } S, \end{cases}$$

или

$$-\lambda G_{im}^0 (\mathbf{x}/\mathbf{x}') * (\partial_i' \partial_j' \gamma (\mathbf{x}') \cdot u_j (\mathbf{x}')) - \mu G_{im}^0 (\mathbf{x}/\mathbf{x}') * (\partial_i' \partial_j' \gamma (\mathbf{x}') \cdot u_j (\mathbf{x}')) - \mu G_{im}^0 (\mathbf{x}/\mathbf{x}') * (\partial_j' \partial_j' \gamma (\mathbf{x}') \cdot u_i (\mathbf{x}')) - \lambda G_{jm}^0 (\mathbf{x}/\mathbf{x}') * (\partial_i' \gamma (\mathbf{x}') \cdot \partial_j' u_i (\mathbf{x}')) - \mu G_{jm}^0 (\mathbf{x}/\mathbf{x}') * (\partial_j' \gamma (\mathbf{x}') \cdot \partial_i' u_i (\mathbf{x}')) - \mu G_{jm}^0 (\mathbf{x}/\mathbf{x}') * (\partial_i' \gamma (\mathbf{x}') \cdot \partial_j' u_j (\mathbf{x}')) + \rho G_{jm}^0 (\mathbf{x}/\mathbf{x}') * f_j (\mathbf{x}') = \begin{cases} u_m (\mathbf{x}), & \mathbf{x} \text{ вне } S, \\ 0, & \mathbf{x} \text{ внутри } S, \end{cases}$$

где звездочка означает свертку.

Нетрудно заметить, что выражение (4) представляет собой интегральную форму записи волнового уравнения для неоднородной упругой среды:

$$\lambda \partial_i \partial_j u_i (\mathbf{x}) + \mu \partial_i \partial_j u_i (\mathbf{x}) + \mu \partial_i \partial_j u_j (\mathbf{x}) + \rho \omega^2 u_j (\mathbf{x}) = -\rho f_j (\mathbf{x}) + \lambda (\partial_i \partial_j \gamma (\mathbf{x}) \cdot u_i (\mathbf{x}) + \partial_i \gamma (\mathbf{x}) \cdot \partial_j u_i (\mathbf{x}) + \mu (\partial_i \partial_j \gamma (\mathbf{x}) \cdot u_i (\mathbf{x}) + \partial_j \gamma (\mathbf{x}) \cdot \partial_i u_i (\mathbf{x}) + \mu (\partial_i \partial_j \gamma (\mathbf{x}) \cdot u_j (\mathbf{x}) + \partial_i \gamma (\mathbf{x}) \cdot \partial_j u_j (\mathbf{x})).$$

Из уравнения (5) видно, что решение граничной задачи связано с решением волнового уравнения для неоднородной упругой среды, но с неоднородностью, описываемой обобщенной функцией в виде производных характеристической функции $\gamma(x)$. Из этого следует, что для приближенного решения обратной граничной задачи можно воспользоваться теми же итерационными алгоритмами, которые были разработаны для решения обратных задач рассеяния звука на сильных неоднородностях параметров среды [4].

СПИСОК ЛИТЕРАТУРЫ

- [1] Горюнов А. А. Препринт № 8 физ. фак. МГУ. М., 1984. [2] Yih-Hsing Pao, Vasundara Varatharajulu. JASA, 1976, 59, p. 1361. [3] Владимир В. С. Уравнения математической физики. М.: Наука, 1981. [4] Байков С. В., Буров В. А., Горюнов А. А., Сасковец А. В. Вестн. Моск. ун-та. Физ. Астрон., 1982, 23, № 6, с. 22.

Поступила в редакцию
16.10.85

ВЕСТН. МОСК. УН-ТА. СЕР. 3. ФИЗИКА. АСТРОНОМИЯ, 1986, Т. 27, № 3

ФИЗИКА ТВЕРДОГО ТЕЛА

УДК 539.213

ИЗМЕНЕНИЕ МАГНИТНЫХ СВОЙСТВ ПОВЕРХНОСТНОГО СЛОЯ АМОРФНЫХ ПЛЕНОК Gd—Fe В ПРОЦЕССЕ ИХ ОКИСЛЕНИЯ

Г. В. Смирницкая, Л. В. Никитин

(кафедра общей физики для естественных факультетов;
кафедра магнетизма)

Аморфные пленки из сплава редкоземельных и переходных металлов могут использоваться в качестве носителей термомагнитной записи и в ЦМД-устройствах. Для надежной работы приборов необходимо постоянство параметров полученных пленок.

В настоящей работе исследуется изменение магнитных свойств, структуры и химического состава поверхностного слоя аморфных пленок Gd—Fe при длительном пребывании их на воздухе. Пленки получались в разряде с осциллирующими электронами распылением поликристаллических катодов из сплава GdFe₂ при анодном напряжении $V_a=2,5$ кВ, напряженности магнитного поля $H=275$ Э в атмосфере Kr при двух значениях давления криптона p_{kr} , соответствующих различным режимам разряда: 1) $p_{kr}=1 \cdot 10^{-4}$ мм рт. ст. (режим разряда с отрицательным пространственным зарядом; $I_p=900$ мкА); 2) $p_{kr}=5 \cdot 10^{-4}$ мм рт. ст. (плазменный режим разряда; $I_p=4$ мА) [1]. Скорость нанесения пленок в 1-м режиме равнялась $S=(20 \pm 2)$ А/мин, во 2-м $S=(22 \pm 2)$ А/мин. Описание метода и установки дано в работе [2].

Для исследования магнитных свойств поверхностного слоя использовался эквивалентный эффект Керра (ЭЭК), пропорциональный намагниченности. При этом свет проникает в металлический ферромагнетик на глубину порядка 0,03 мкм [3]. Концентрационные профили компонент по глубине пленки исследовались с помощью оже-электронного анализа на установке Varian. Химический состав пленок определялся рентгеновским микроанализатором ХМА-5В, структура — рентгеновским дифрактометром УРС-50 ИМ. Съемка велась на $Co K_{\alpha}$ -излучении с β -фильтром из Fe как непосредственно после выноса пленок в атмосферу, так и через несколько месяцев после пребывания их на воздухе.

На рис. 1 приведены зависимости ЭЭК от энергии квантов падающего света $\hbar\omega$ в области $\hbar\omega=0,6-2,64$ эВ при угле падения $\varphi=70^\circ$. Величина и характер этих зависимостей определяются режимом разряда при получении пленки и существенно меняются в ходе пребывания их на воздухе. Для пленки, полученной в плазменном режиме и исследованной в первый день, величина эффекта слабо зависит от $\hbar\omega$, что указывает на то, что пленка находится в аморфном состоянии, так как отсутствие дальнего порядка приводит к размыванию пиков, связанных с электронными переходами. Для пленок, полученных в режиме разряда с отрицательным пространственным зарядом, наблюдаются более ярко выраженные особенности при энергиях 0,8—1,4 эВ, что характерно для частичной кристаллизации аморфной фазы. Основной причиной образова-